

논문 88 - 1 - 4

주명 7/65/35 PLZT 세라믹을 이용한 Image Storage & Display에 관한 연구

이개영, 유주현, 위규진, 정익체, 박창업

연세대학교 전기공학과

Image storage & display using transparent 7/65/35 PLZT ceramics

Lee Kae-myeng, Yoo Ju-hyun, Wee Kyu-jin, Jeong Ik-che, Park Chang-yup

ABSTRACT

In this paper, image storage and display of scattering mode using 7/65/35 PLZT ceramics was studied. Scattering in a ferroelectric poly-crystal depends on its grain size and domain orientations. 7/65/35 PLZT ceramics is ferroelectric and transparent. Image can be stored in the ceramic substrate by poling it selectively through a pair of electrodes with the pattern or a set of a photoconductivity film and two transparent electrodes.

1. 서 론

강유전체 투명세라믹을 이용한 영상축적 및 디스플레이에 관한 연구는 투과도와 전기광학특성이 우수한 투명 PLZT가 제작되면서 본격화 되었다. 투명 PLZT의 전기광학특성을 이용함에 있어 광산란 모드와 복굴절모드를 사용하게 되며, 아울러 화상축적 및 디스플레이 개열의 용용에 있어서는 광부과방식과 반사방식이 있다. 본 연구에 있어서는 화상의 측정과정과 디스플레이 과정이 비교적 간단하면서도 contrast 가 크고 해상도가 높은 화상을 얻을 수 있고 photoferroelectric 효과를 바로 이용할 수 있어 보다 발전 가능성이 있는 광산란 모드를 이용한 광부과방식의 화상축적 및 디스플레이에 관해 연구하였다.

먼저 투명 PLZT 시편의 조성을 광메모리 특성과 산란특성이 우수한 7/65/35 PLZT로 정하였으며, 시편의 그레인 크기를 조절하기 위해서 2차 sintering 시간을 변화시켜 일련의 순차적인 그레인 크기를 갖는 시편들을

제작하였다. 본 실험에 앞서 잔류분극과 입사광의 파장이 산란특성에 미치는 영향을 살펴보기 위하여 투명전극이 부착된 PLZT 시편의 양단에 전계를 가하면서 입사광의 파장에 따른 광부과도를 조사하였다. 이 결과를 토대로 하여 온 전극패턴과 투명전극으로 산란특성이 우수한 7/65/35 PLZT 시편에 화상을 측정하였으며, He-Ne Laser와 기타 광학장치로 구성된 디스플레이 시스템을 구성하여 측정된 화상을 디스플레이 하였다.

2. 산란모드를 이용한 화상축적 및 디스플레이의 원리

산란모드를 이용한 화상축적 및 디스플레이의 원리는 광 메모리 특성을 갖는 투명 PLZT 시편의 도메인들의 방향을 패턴전극 쌍을 이용하거나 광도전막과 투명전극을 이용해 선택적으로 이동시키면 국부적으로 산란의 정도가 다르게 되고 이산란의 차이를 적당한 디스플레이 시스템을 이용해 명암의 차이로 나타낼 수 있다는 것이다.

3. 7/65/35 PLZT의 광산란 특성의 측정

그림1과 같은 측정시스템으로 광산란 특성을 조사하였으며 이 실험에 U.V Spectrophotometer(UV-240 Shimadzu)가 사용되었다. 시편의 잔류분극상태를 열적으로 소극된 상태(P_{TE}), 전계에 의해 종방향으로의 포화잔류분극을 갖는 상태(P_{SR}), 전계에 의해 종방향으로의 영(zero) 값의 잔류분극을 갖는 상태(P_0)로 바꾸며, 파장 400-800(nm) 범위에서 투과도를 측정하여 각 상태에서 산란정도를 파악하였다.

시편의 그레인 크기가 3.4, 4.3, 8.3, 12.4(μm) 일 때의 데이터 같이 그림2에 나타나있다.

측정결과로 부터 그레인 크기가 3.4(μm)인 7/65/35

PLZT 시편은 광산란특성이 좋지 않고 4.3, 8.3, 12.4(um)의 값을 갖는 7/65/35 PLZT 시편들의 광산란 특성은 상대적으로 우수함을 알 수 있다. 여기서 광산란 특성이 우수하다는 것은 전계에 의해 각 상태의 산란정도를 크게 변화시킬 수 있음을 말한다.

열적으로 소극된 초기 상태를 갖는 화상축적 및 디스플레이 소자의 그레인 크기는 4.3(um)와 12.4(um)부근의 값이 적당하고 특히 그레인 크기가 12.4(um)일 때가 보다 더 좋은 특성을 갖음을 알 수 있다. 632.8(nm)에서 그레인 크기가 8.3(um)일 때의 P_{SR} 상태의 광부과도가 37(%)로 나머지 세 경우에서 P_{SR} 상태의 광부과도가 보다 높으므로 광손실이 적은 화상축적 및 디스플레이 소자를 구성할 수 있으리라 생각된다.

4. 시편의 스위칭 특성

열적으로 소극된 7/65/35 PLZT 시편을 종방향으로 전계를 인가하여 종방향으로 잔류분극 상태 ($P_{SR} \rightleftharpoons P_0$) $\rightleftharpoons (-P_{SR})$ 로 변화시킬 수 있다. 30회 이상 이 사이클을 반복한 다음 잔류분극 상태를 ($P_{SR} \rightleftharpoons P_0$)로 변화시키면 각 상태에서 광부과도 즉 산란상태가 정상상태에 도달하게 되며 이때 필요한 전압은 180(V)였다. 정상상태에 도달했을 때 P_{SR} 과 P_0 상태의 광부과도 폭선이 그림3에 나타나 있다. 이 결과는 짧은 파장의 가시광선 영역에서 P_{SR}/P_0 의 투과도 비가 매우 큼을 보여 주고 있으며 이 두 상태를 이용한 화상축적 및 디스플레이 소자를 이용해 광영역의 빛으로 디스플레이 하면 높은 contrast의 화상을 얻게 될 것이다. 그림4는 시편에 충전된 전하를 방전시켰을 때 광부과도의 변화를 보여주고 있다.

5. 화상의 축적 및 디스플레이

1) 화상의 축적

화상축적 구조는 그림5와 같고 그레인 크기 12.4(um)인 7/65/35 PLZT 시편에서는 P_{TE} 와 P_{SR} 상태의 광산란 차이를 이용해 화상을 축적했고, 그레인 크기 8.3(um)인 7/65/35 PLZT 시편에서는 P_{TE} 와 P_0 상태의 광산란 차이를 이용해 화상을 축적했다. 화상이 축적된 PLZT 시편이 그림6에 나타나 있다.

2) 기억된 화상의 디스플레이

파장이 632.8(nm)인 He-Ne Laser를 이용해 그림7과

같은 디스플레이 시스템을 구성하여 축적된 화상을 디스플레이 했다. 화상이 축적된 그레인 크기 12.3(um)인 PLZT 시편을 스크린에 디스플레이 한 것이 그림8에 나타나 있다.

6. 결 론

화상축적 및 표시소자에 관한 연구를 통해 다음과 같은 결론을 얻었다.

1) 광산란모드를 이용한 화상축적 표시소자에 적합한 7/65/35 PLZT의 그레인 크기는 3.4(um) 이상인 것이 광부과도도 좋으며 광산란 특성도 우수하다. 즉 광손실도 적으며 전계에 의해 광산란을 큰 폭으로 조절할 수 있다.

2) 열적으로 소극된 초기 상태를 갖도록 설계된 화상축적 표시소자는 Coarse grain 을 갖는 7/65/35 PLZT를 사용하는 것이 효과적이다.

3) 도메인을 이동시켜 P_{SR} 이나 P_0 상태를 만들기 위해 필요한 전압은 시편의 두께가 0.3(mm)일 때 180(V)이었다.

4) 시편에 축적된 전하에 의해 도메인이 영향을 받으며 충전된 전하를 방전시키면 P_{SR} 은 작아지고 P_0 는 커져 결국 P_{SR} 과 P_0 를 두 명암 상태로 이용한 소자의 contrast를 저하시킨다.

7. 참 고 문 헌

1) W.D. Smith and C.E. Land, "Scattering mode ferroelectric-photoconductor image storage and display devices", Appl. Phys. Lett., vol. 20, pp. 169-171, Feb. 15, 1972

2) J.R. Maldonado and D.B. Fraser, "PLZT ceramics display devices for slow-scan graphic projection displays", Proc. IEEE, vol. 61, pp. 975-981, July 1973.

3) C.E. Land and W.D. Smith, "Reflective-mode ferroelectric-photoconductor image storage and display devices", Appl. Phys. Lett., vol. 23, pp. 57-59, July 1973.

4) G.H. Haertling, "PLZT Electrooptic materials and applications-A Review", Ferroelectrics, 1987, vol. 75, pp. 25-55.

5) P.S. Peercy and C.E. Land, "Ion-implanted PLZT ceramics: A new high-sensitivity image storage

medium*. IEEE trans. Electron Devices, vol. ED-28, pp. 756-762, June 1981.

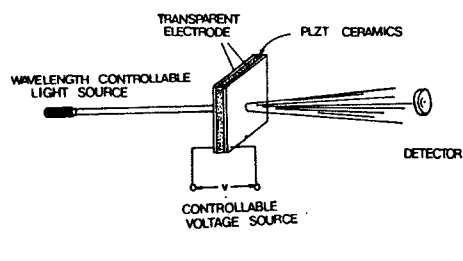


그림 1. 광산란 특성 측정 시스템

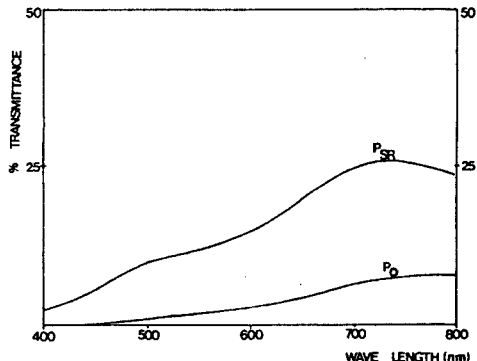
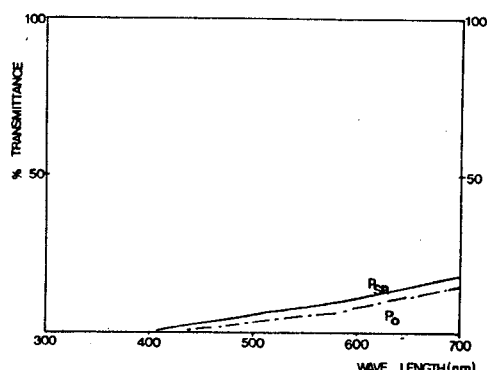
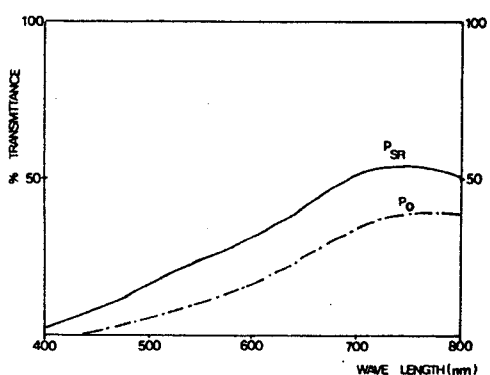


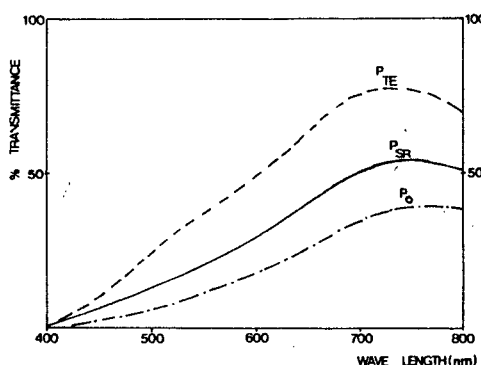
그림 3. 분극상태를 (P_{SR}) \leftrightarrow (P_O)로 바꿀 때
정상상태의 광투과도 특성



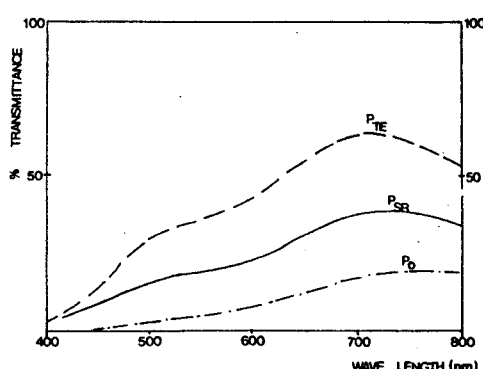
(a) 그레인 크기 3.4 [μm]



(b) 그레인 크기 4.3 [μm]



(c) 그레인 크기 8.3 [μm]



(d) 그레인 크기 12.4 [μm]

그림 2. 그레인 크기에 따른 7/65/35 PLZT의 광산란 특성

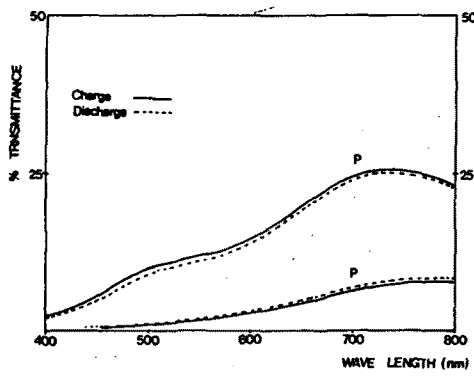


그림 4. 충전전하가 광투과도에 미치는 영향

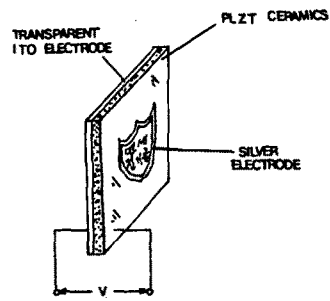


그림 5. 확상축적 구조

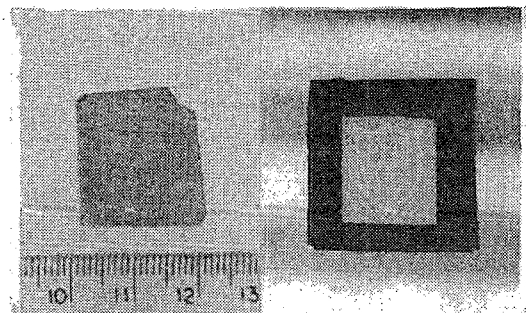


그림 6. 확상이 측작된 7/65/35 PLZT 시편
(그레이크기 12.4 [μm])

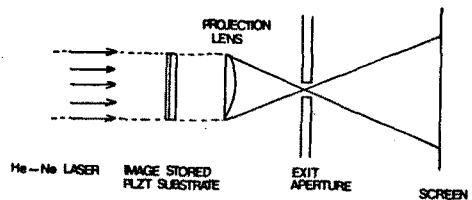
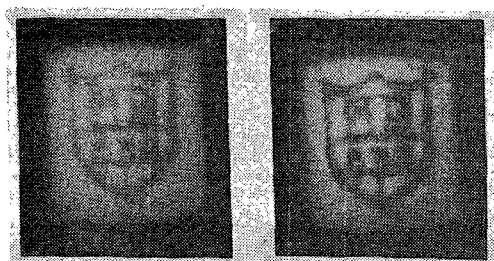


그림 7. 산란모드를 이용한 확상축적 표시소자의
Display 시스템



(사진기 노출이 길어짐 \Rightarrow)
그림 8. He-Ne Laser 를 사용해
Display 된 확상